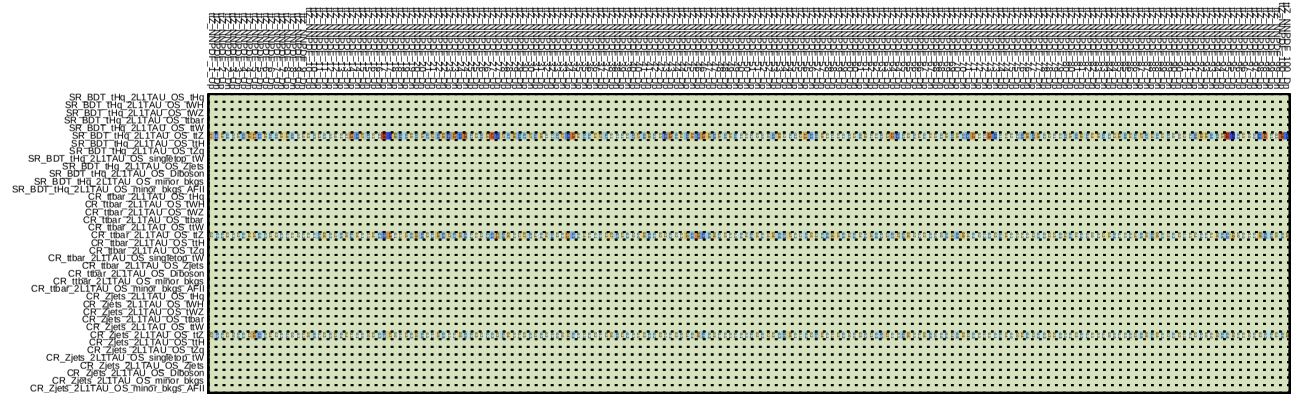
SR_BDT_tHq_2LTAU_OS_tHq
SR_BDT_tHq_2LTAU_OS_tWH
SR_BDT_tHq_2LTAU_OS_tWZ
SR_BDT_tHq_2LTAU_OS_ttbar
SR_BDT_tHq_2LTAU_OS_tW
SR_BDT_tHq_2LTAU_OS_tZ
SR_BDT_tHq_2LTAU_OS_tH
SR_BDT_tHq_2LTAU_OS_tZq
SR_BDT_tHq_2LTAU_OS_sing@tpp_tW
SR_BDT_tHq_2LTAU_OS_Zjets
SR_BDT_tHq_2LTAU_OS_Diboson
SR_BDT_tHq_2LTAU_OS_minor_bkgs
SR_BDT_tHq_2LTAU_OS_minor_bkgs_AFII
CR_ttbar_2LTAU_OS_tHq
CR_ttbar_2LTAU_OS_tWH
CR_ttbar_2LTAU_OS_tWZ
CR_ttbar_2LTAU_OS_ttbar
CR_ttbar_2LTAU_OS_tW
CR_ttbar_2LTAU_OS_tZ
CR_ttbar_2LTAU_OS_tH
CR_ttbar_2LTAU_OS_tZq
CR_ttbar_2LTAU_OS_sing@tpp_tW
CR_ttbar_2LTAU_OS_Zjets
CR_ttbar_2LTAU_OS_Diboson
CR_ttbar_2LTAU_OS_minor_bkgs
CR_ttbar_2LTAU_OS_minor_bkgs_AFII
CR_Zjets_2LTAU_OS_tHq
CR_Zjets_2LTAU_OS_tWH
CR_Zjets_2LTAU_OS_tWZ
CR_Zjets_2LTAU_OS_ttbar
CR_Zjets_2LTAU_OS_tW
CR_Zjets_2LTAU_OS_tZ
CR_Zjets_2LTAU_OS_tH
CR_Zjets_2LTAU_OS_tZq
CR_Zjets_2LTAU_OS_sing@tpp_tW
CR_Zjets_2LTAU_OS_Zjets
CR_Zjets_2LTAU_OS_Diboson
CR_Zjets_2LTAU_OS_minor_bkgs
CR_Zjets_2LTAU_OS_minor_bkgs_AFII